### 5-2-3 流出計算シミュレーションモデル

#### 1. 概要

従来から採用されている流量計算方式は、K-10上流域については7観測所でも流域平均雨量は低低把握できる事、逆に他の方法による場合は、流域細分割の必要性から分割流域の雨量が的確に把握できない可能性が大きい事、予報対象地域がK-10 下流である事等を考え合わすとほぼ合理的な方法であると考えられる。

そこで、従来の方法の欠点を少しでもカバーする方法を考えた。

従来の方法の問題点として次のものが考えられる。

- ① 計算スタート日が4月1日と固定されている。
- ② 途中段階で実測、推算流量の調整ができない。

とれらの問題点に対して、今回任意日からの計算スタートが可能、推算流量の実 側流量への修正が可能なモデルとした。

2. 検討ケース及びフローチャート

今回4ケースについて検討を行ったが、基本的な考え方は下記のとおりである。

- ① 最新日の $5\sim1$ 日前の雨量データをもとに $Q_S$ を算出し、仮定した $Q_B$ とより流量を算出し実績流量と比較し、 $R_S$ 、 $R_I$ の修正をそれぞれ前5日、3日分行5。
- ② この修正された  $R_S$  、 $R_I$  より  $\beta$  なり  $\alpha$  を逆算して以後の計算に使用する。
- ③ 基本的な定数は従来値を使用する。
- 2-1 各検討ケースの概要

以下の説明において、各記号の意味はP108と同じであり、各記号につけられたサフィックス"M"は修正後の値を示す。

1) 計算流量を実測流量に合致させるための雨量修正計算

 $\phi-$ ス、1、2は $Q_C<Q_O$ の場合は、 $RS_O$ 、 $RI_O$ をもとに $Q_O/Q_C$ の比で拡大し、 $RS_M$ ・ $RI_M$ とするが、 $RE_M=RS_M+RI_M$  がRよりも大となった時は $RE_M=R$ とし、更に $RS_M$ が $RE_M$ よりも大となった時は、 $RS_M=RE_M$ ・ $RI_M=0$ とする。 $Q_C>Q_O$ の場合は $\phi-$ ス1においては、 $RS_O$ 、 $RI_O$ ともに $Q_O/Q_C$ の比で縮少するが、 $\phi-$ ス、2においては

RSOのみ縮小する。これにより、いったんRIM=0となった後において

は、ケース、1にかいては、常にRI=0となりケース、2にかいては、 縮小すれはRI=0 とならない。したがって、ケース1、2にかいては、 拡大時にはREはともに変更するが、縮小時にはケース・1はREを変更 するが、ケース2では変更しないという点で違いがある。

ケース・3においては、RSOのみを $Q_0/Q_C$ の比で拡大、縮小する。拡大した際に、RSMがREOよりも大となれば、RSM=REO、RIM=0とする。なおREは変更しない。

auース、4においては、RSO、RIO、REOともにQO/QCの比で拡大、縮小する。拡大した際にRE $_{
m M}$  がRより大となれば、RE $_{
m M}$ =Rとし、RS $_{
m M}$ RI $_{
m M}$ も同時にR/RE $_{
m M}$  の比で縮小する。

# 2) α,βの計算

この修正された  $RS_M$ ,  $RI_M$ ,  $RE_M$ を使用して $\alpha$ 又は  $\beta$ を逆算する。 ケース・1 においては,  $RE_M$  < R の間は  $\beta$  は変わらず  $\beta_M$  =  $\beta_0$  であり,  $RE_M$   $\geq$  R c  $RS_M$  <  $RE_M$  の間は  $\beta$  は大きくなる。 更に  $RS_M$   $\geq$   $RE_M$  の後は  $\beta$  = 1.0 となり以後は常に  $\beta$  = 1.0 になる以前は  $\beta$  = 1.0 になる。

ケース.3においては,βの値はケース2と同様の挙動をする。

ケース・4はβは常に変わらない。

 $\alpha$  については、ケース 1,4 は常に $\alpha$ 0  $\Xi$   $\alpha$ Mであり、ケース、3 は常に $\alpha$ 0  $\Xi$   $\alpha$ M である。ケース、2 は雨量拡大時はケース、1 に縮小時はケース、3 に同じである。

## 3) (T+1)日以後の計算

f-A. 1.2.3は、 $\alpha$ は7~9日雨量より決定される値をそのまま使用しf-A. 4はfを $\phi$ ( $Q_B$ )から求められる値をそのまま使用する。 f-A. 1.2.3におけるfMはfREMより求められ、fCのfMが 0.55を越える時は、逆計算により求められた値を以後の計算に使用する。 このとき、前3日間の計算されたfMが大きくなる傾向の時は最大値を、逆の時は最小値を使用する。

ケース、4におけるαMはREM/Rより求められ、前3日間の平均値を以

# 後の計算に使用する。

とれら、各ケースの概要を表4.4に示した。

wit-consessed	(delighted many of the control of th				-
		Table 5	i-4 各ケース	くの概要	
		ケース 1	ケース 2	ケース 3	ケース 4
	$Q_0 \leqslant Q_0$	・RS . R I を拡大 ↓ R E も拡大される	ケース1と同じ	・RSだけ拡大 ・拡大したRSがRE より大となれば	<ul><li>RS, RI, REを 拡大又は縮小する</li><li>拡大したREがF</li></ul>
計算		・拡大したREがR より大となった時 はRE=Rとする		RS=RE, RI=0 とする。 ・REは変更しない	より大となれば RE=Rとし RSも(R/RE)の
流量 補		・拡大した R S が R E より大となっ た時は			比で拡大後のRS を縮小する
時		RS=RE, RI=0 とする。			
	Q <sub>0</sub> > Q <sub>0</sub>	・RS, RI を縮小 ↓ REも縮少される	・REは変更せず RSを縮小	・REは変更せず RSを縮小	
(	β	<ul> <li>補正した RE, RS より求めた β が</li> <li>0.55 を越える時 はその値を使用</li> </ul>	• 同 左	• 同 左	・φ(Q <sub>B</sub> ) <sub>T-1</sub> より β <sub>T</sub> を求める
T + 1		・他は $\phi(Q_B)_{T-i}$ より $\beta_T$ を求める ・いったん $RI=0$	<ul><li>同 左</li><li>いったんRI=0と</li></ul>	<ul><li> 同 左</li><li> ケース2 に同じ</li></ul>	
)以後		となると以後はす べてRI=0 (β=1.0)となる	なっても以後すべ てRI=0となら ない。βは1.0を最		
の計算		م جد از میل از در از میلاد در	大として変化する		D 1.46(T) + D D
	α	<ul><li>あらかじめ与えられるαは変えない</li></ul>	• 同 左	• 同 左	<ul><li>Rと補正したRE によりαを求め以 後の計算に使用す</li></ul>

# 2-1-1 各ケースの計算ステップ及びフローチャート

- (1) ケース・1 (図5.7、表5.5参照)
  - ① QBTOを仮定
  - ② QBTOよりφ(QB)<sub>T-1</sub>を求める。
  - ③  $\phi(QB)_{T-1}$  より $\beta_{T-1}$  を求める(以下 $\phi(QB)_{T-1}$ を $\phi_{T-1}$ を あらわす。)

  - (6) RI<sub>iO</sub>=RE<sub>iO</sub>-RS<sub>iO</sub>を求める。
  - ⑥ RSiOを使ってQSTOを求める。

Table 5-5 Computation Steps in Case 1

	<u> </u>	ס	<b>T</b>	·						·····
	o,	m <sup>3</sup> /s.								
	0,0	m³/s.d						$\widehat{\mathbb{C}}(\mathbb{R})$	(6)	
	0	p.s/sm						9 (1)	(2)	
į	, G	<u> </u>				<del></del>		9	(10)	
	-							9	(1)	
							· · · · · · · · · · · · · · · · · · ·	(9)	(H)	
	(S)					1111		9	(19)	
	T.D					a s'		(9)	10	
	:			1 <u>.2.1.</u> s. s.				(9)	(10)	
	R <sub>S</sub>	mm <sup>3</sup> /s.d	99	£ 6	<u>(5)</u> (9)	ଫ <u>ି</u> (୭)	99			
	8		(4)	(4)	£ (E)	(L) (£)	(C)	(T)		
	р' Б	шш								
	Q <sub>B</sub>	m³/s.d						£ (2)	(E)	
<u> </u>	9	uau					$\bigcirc \bigcirc$			
	Q <sub>T</sub>	THE LEWIS CO.								
	T.D.(T)							10(0)		
		mm/d			6)	6	(9)			
$\vdash$	ඊ .	=	*	*	*	*	*	*	*	
		mm/a	(6)	6	6	(9)	(h)			
,	<b>곳</b>	mm/a	*	*	*	*	*	*	×	
	DATE		T - 7.	Д 7-	T-3	T-2	Ţ	E	<b>7</b>	T+2

rected) values. \*: Known values. QB: Baseflow (m³/s.d). qB: Baseflow (mm).  $\phi(Q_B)$ : Basin potential. R: Total rainfall. Rp: Infiltration compo. Rs: Surface compo.  $q_T$ : Infiltration (mm). QS.q.: Figures in circles: Determined (cor- $Q_{\rm o}$ : Observed discharge (m³/s.d). T.D.(I), 11.  $\beta$ : Coefficient of surface runoff. T: Starting day of computation. Figures in parenthese: Initial values. Surface runoff (m³/s.d, mm), Q: Computed discharge (m³/s.d). Q T.D.(S): Time distribution.  $\alpha$ : Coefficient of effective rainfall.

- の QCTO =QBTO+QSTO を求めQOTと比較する
- QCTOとQOTに差が生じたらQCTO=QOTの補正をする
  - 1), QCTO < QOTO & &
  - (1)  $i = T 5 \sim T 1$   $K \supset K \subset T$

$$RS_i = P \cdot RS_{iO}$$
  $RI_i = P \cdot RI_{iO}$  と初期のRS、RI、REを引き  $RE_i = RS_i + RI_i$  (  $P = QOT / QC_{TO}$  )

- (n) このとき RE<sub>i</sub> ≥ R<sub>i</sub>となったら  $RE_i = R_i \ge f\delta$
- (\*) 更にRS<sub>i</sub>≥RE<sub>i</sub>となったら  $PS_i = RE_i$ ,  $RI_i = 0$ とする
- 2) QCTO>QOTのとき RS<sub>i</sub>, RI<sub>i</sub>, RE<sub>i</sub>をPで縮小する
- QBT=P.QBTO の補正をする
- ⑩ QSTを RS;から求め QCT=QST+QBTを確認する
- φ<sub>T-1</sub>をQB<sub>T</sub>より求める

 $i = T - 3 \sim T - 1$  K Oh T

(T+1)以後

の計算

 $\beta_i = RS_i / RE_i$  を求める

取 1) B; > 0.55のとき(いずれか1つでも)

$$\beta_{T-3} < \beta_{T-1}$$
  $O \ge \delta \beta K = \max(\beta_{T-2}, \beta_{T-1})$ 

$$\beta_{T-3} > \beta_{T-1}$$
  $\beta_{K=min}(\beta_{T-2},\beta_{T-1})$ とする

(T+1)以後のβはすべてβKとする

2) B; ≤ 0.55のとき

BTをサT-1より求める

TにおけるRE. RS. RIを求める

$$RE_T = \alpha_T \cdot R_T$$

$$RS_T = \beta_T \cdot RE_T$$

$$RI_T = RE_T - RS_T$$

- ⑥ QST+1をすでに求められている RST-4. RST-3. RST-2. RST-1. RST より求める
- 砂 φτをφτ-1, QBT· RIT-3· RIT-2· RIT-1 より求める
- № ゆてよりQBT+1を求める
- QCT+1=QBT+1+QST+1を求める
- ◎ T+2以後も同様にして求める
- ② T+1 においてQC $_{T+1}$ =QO $_{T+1}$ とするためには8以下と同様のステップを経る。
- (2) ケース、 2
  - ① ~ ケース・1と同じ
  - ⑧ QCTO=QOTの補正をする
  - ⑨ 1) QCTo < QOTのとき(RSio, REio, RIioを変更)</li>i=T-5~T-1 について

$$RE_i = P.RE_{io}$$
  
 $RE_i = RE_i - RS_i$  とする

 $RS_i = P$ .  $RS_{io}$ 

2) QCTO>QOTのとき(REioは変更しない)

 $RS_i = P \cdot RS_{i,0}$ 

 $RE_{i} = RE_{i0}$ 

 $RI_i = RE_i - RS_i$  とする

- ① 以下 ケース 1と同じ
- (3) ケース. 3
  - ① ) ケース、1 と同し
  - (7)
  - ⑧ QCTO=QOTの補正をする。
  - ⑨ 1) QC<sub>TO</sub><QO<sub>T</sub>のとき(RE<sub>io</sub>は変更しない) i=T-5~T-1について
    - (1) RSioのみ拡大する

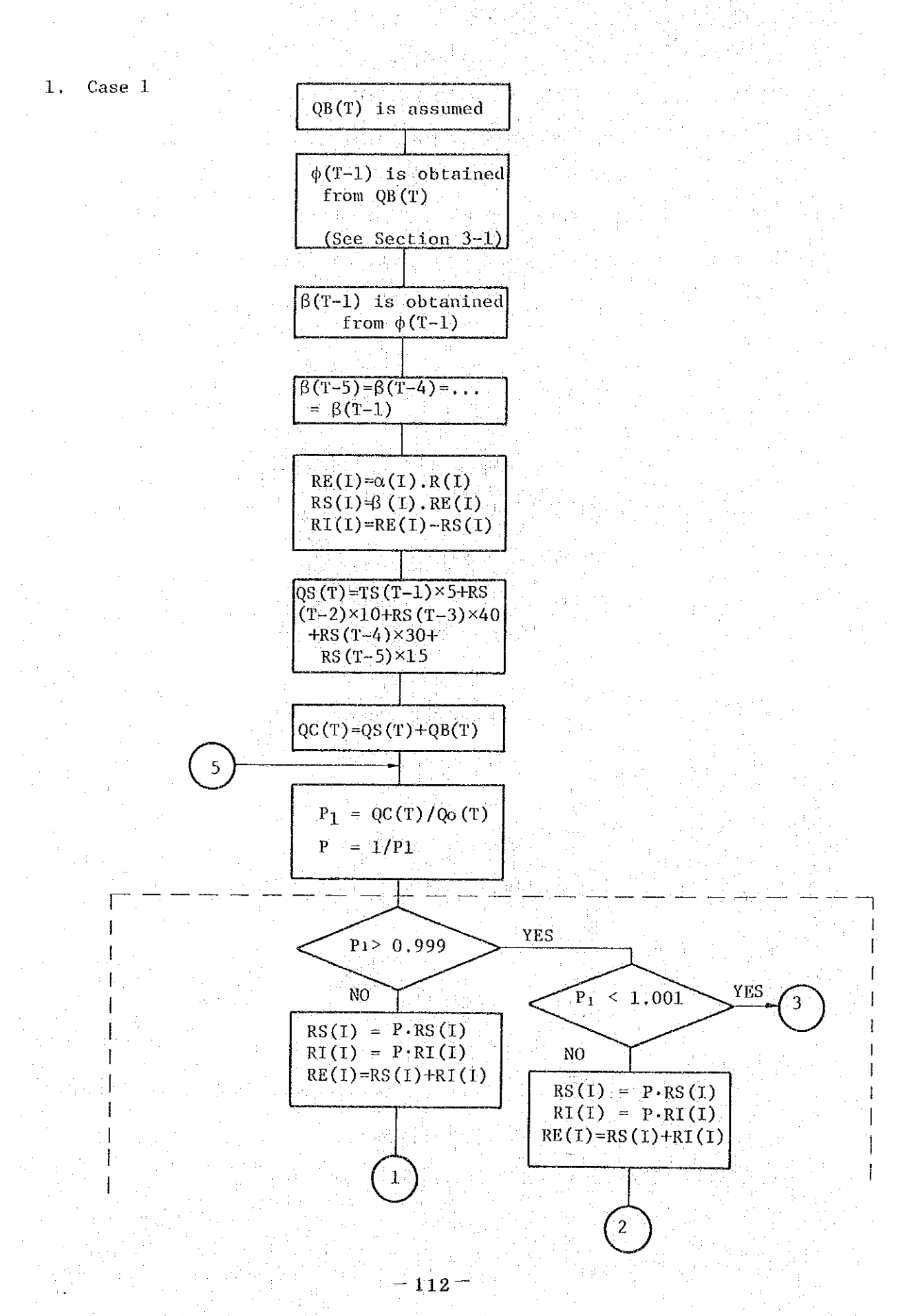
 $RS_i = P \cdot RS_{io}$ 

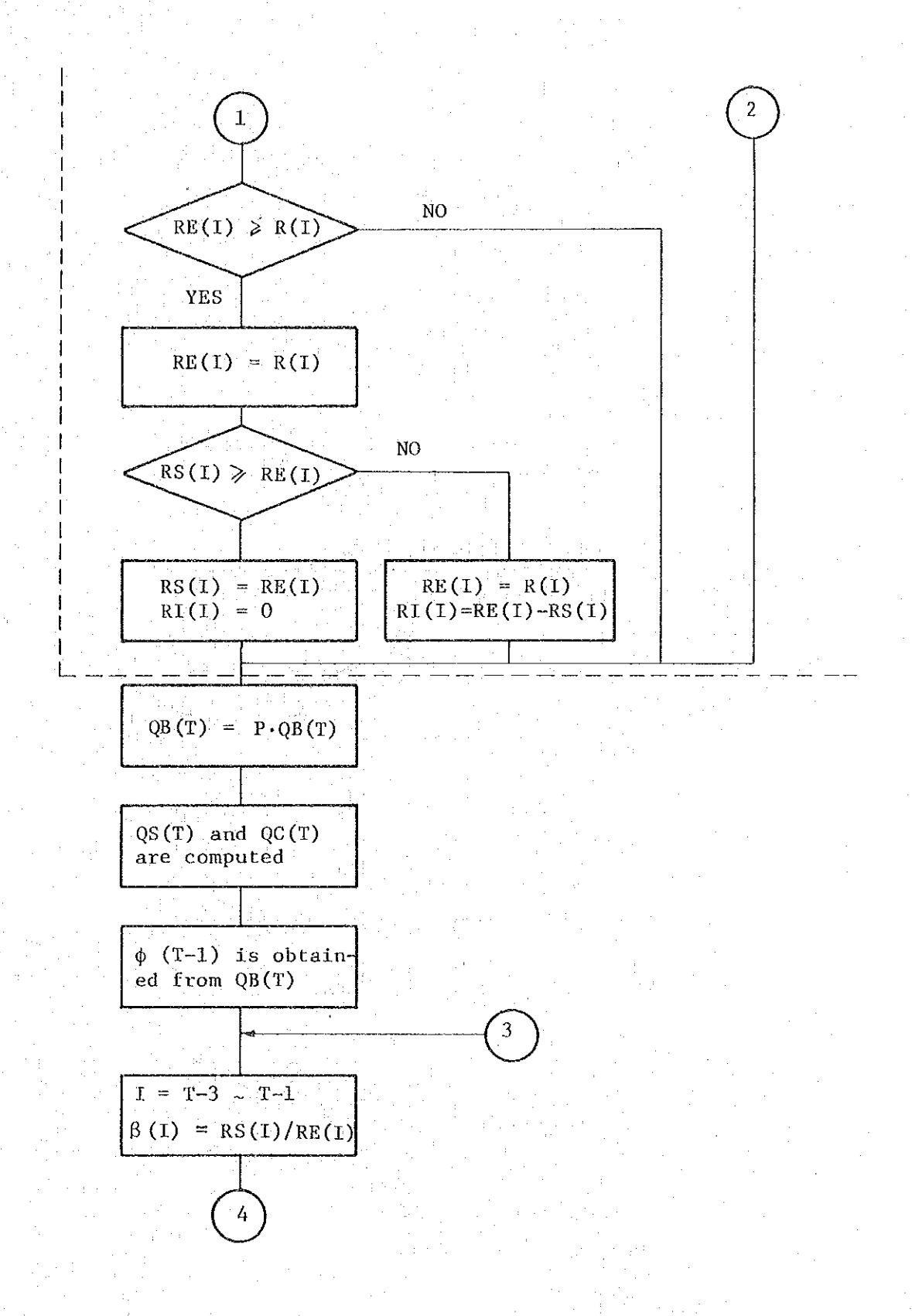
$$RS_i = P \cdot RS_{io}$$
 $RE_i = RE_{io}$ 
 $RI_i = RE_i - RS_i$ 

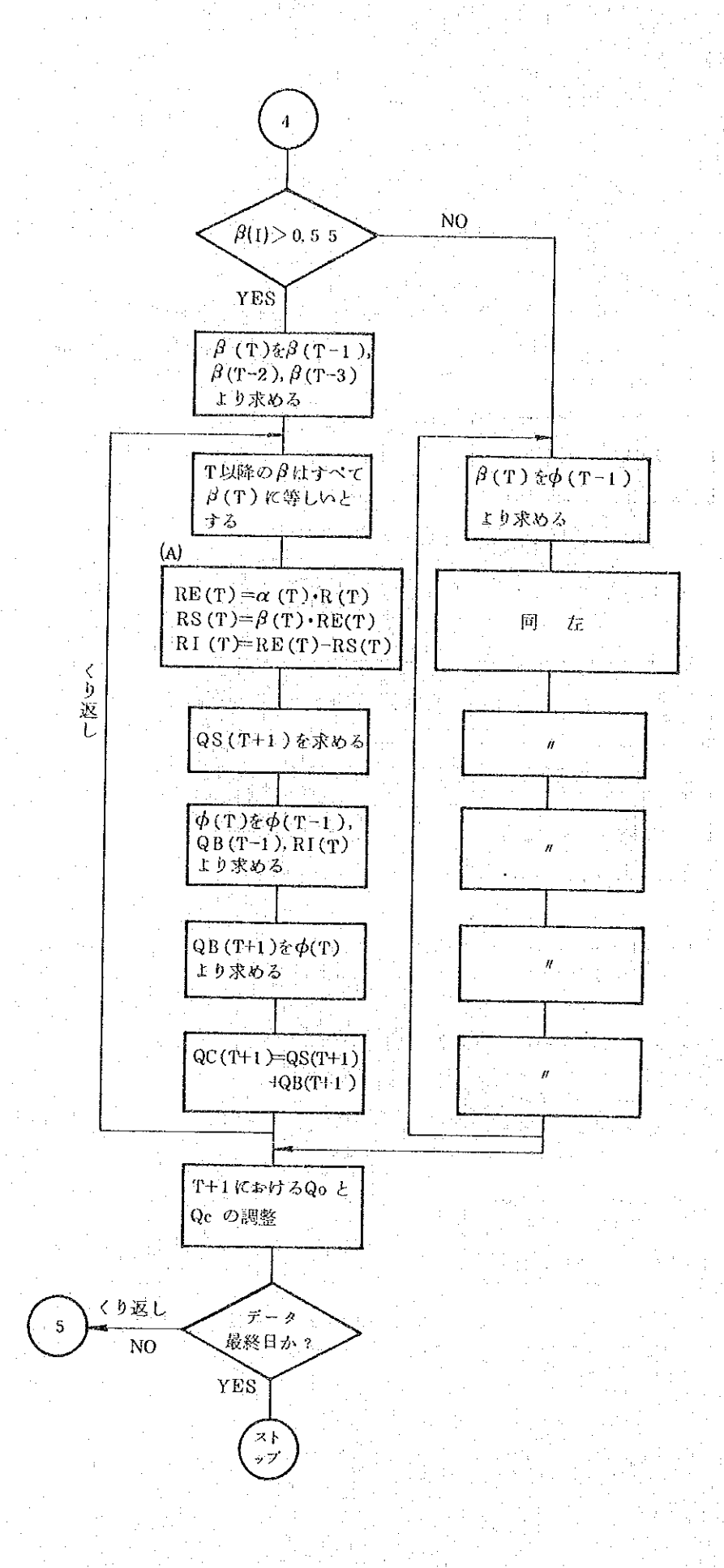
(P)  $\geq O \geq \delta RS_i \geq RE_i \geq \alpha h d'$  $RS_i = RE_i$ 

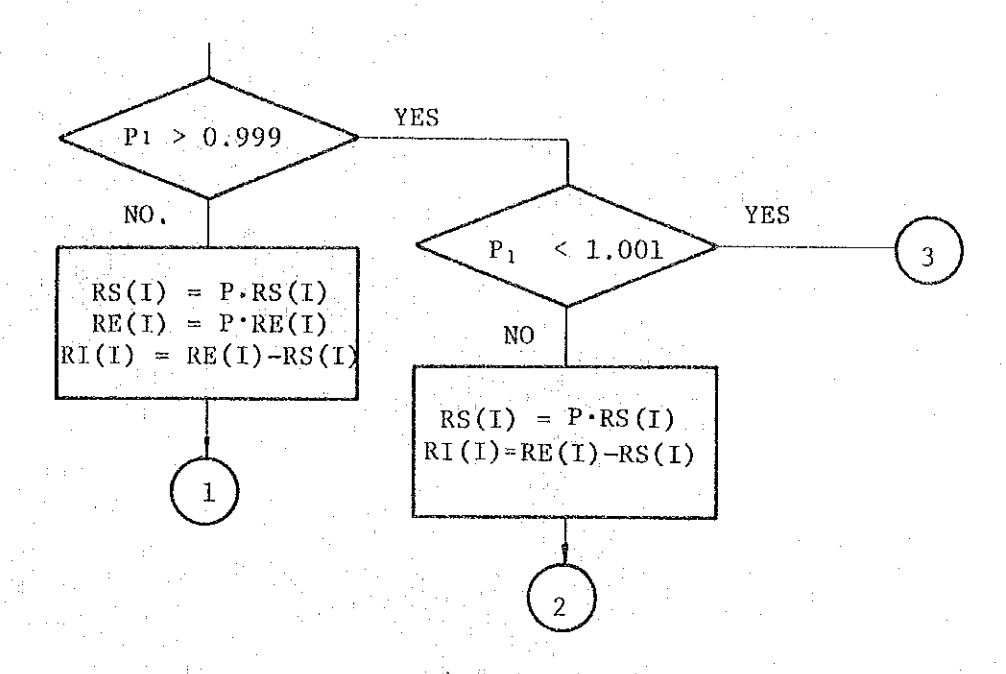
$$RI_i = 0$$
 とする

- 2)  $OC_{TO} > QO_{T}$ のとき( $RE_{io}$ は変更しない)  $RS_{i} = P \cdot RS_{io}$ (縮小)  $RI_{i} = RE_{i} RS_{i}$
- ⑩ 以下 ケース, 1と同じ
- (4) ケース.
  - ① ~ ケース、1と同じ
  - ® QCTO=QOTの補正
  - (9)  $i=T-5\sim T-1 \leftarrow 0$   $RS_i = P \cdot RS_{i0}$   $RI_i = P \cdot RT_{i0}$   $RE_i = RS_i + RI_i$ 
    - 2)  $RE_i \ge R_i$  となったら  $RE_i = R_i$   $RS_i = (R_i/RE_i) \cdot RS_i$   $RI_i = RE_i RS_i$  とする
  - ⑩ ~ ケース、1と同じ
  - (B)  $i = T 3 \sim T 1$  KONT
  - $\alpha_i = RE_i/R_i$ を求める
  - $\Phi$   $\alpha K = (lpha_{T-3} + lpha_{T-2} + lpha_{T-1})/3$ として以降のlphaはすべてlphaKとする  $B_T$ を $\phi_{T-1}$ より求める
  - (6) 以下ケース、1と同じ

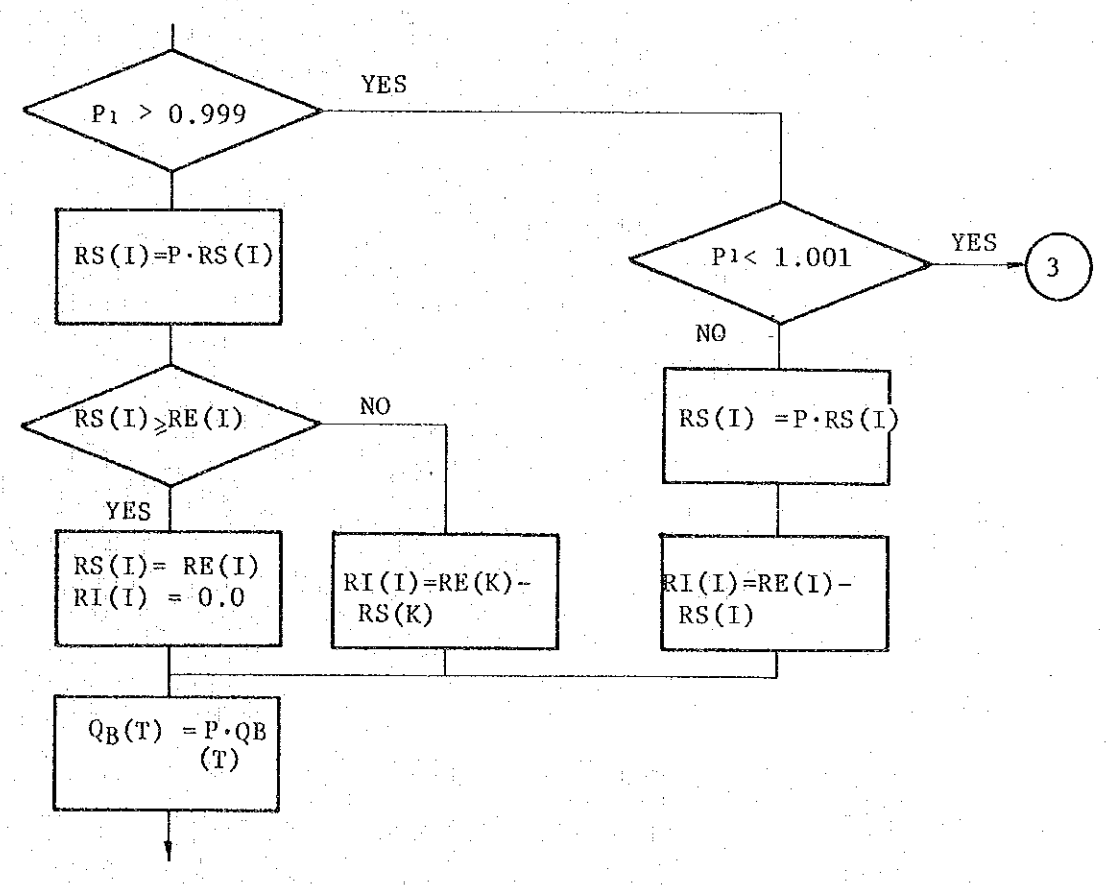






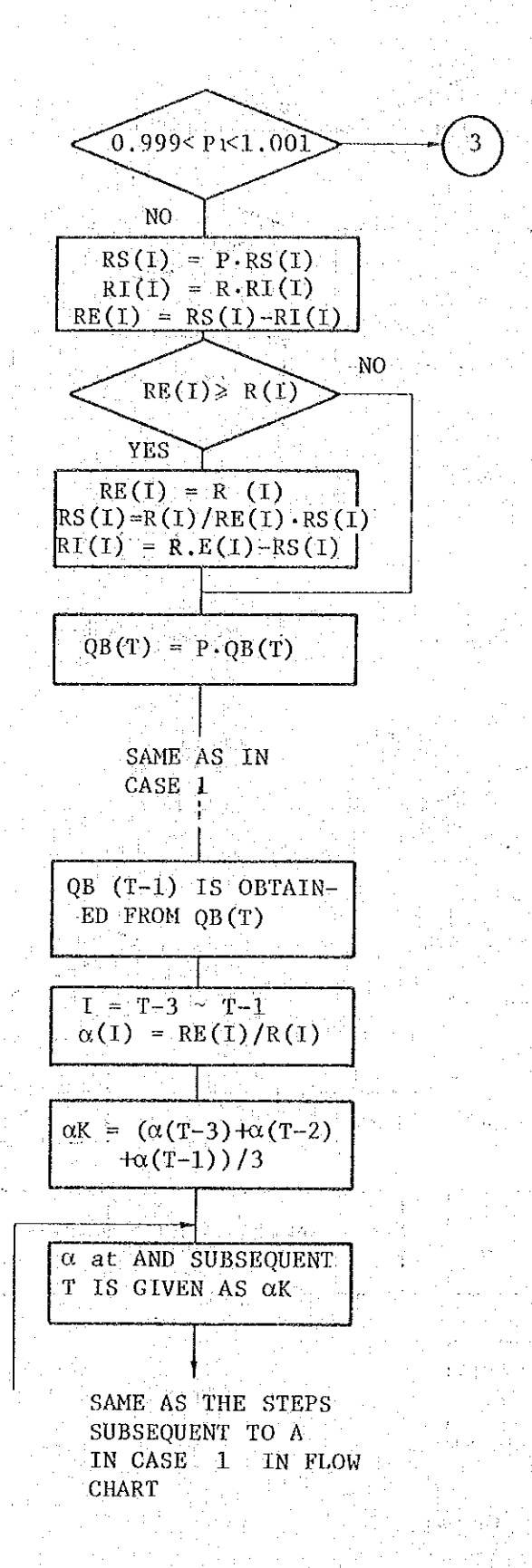


Case 3 (Section boxed in broken line in Case 1 flow chart)



Same as in Case 1

Case 4 (Steps subsequent to the section boxed in broken line in Case 1 flow chart)



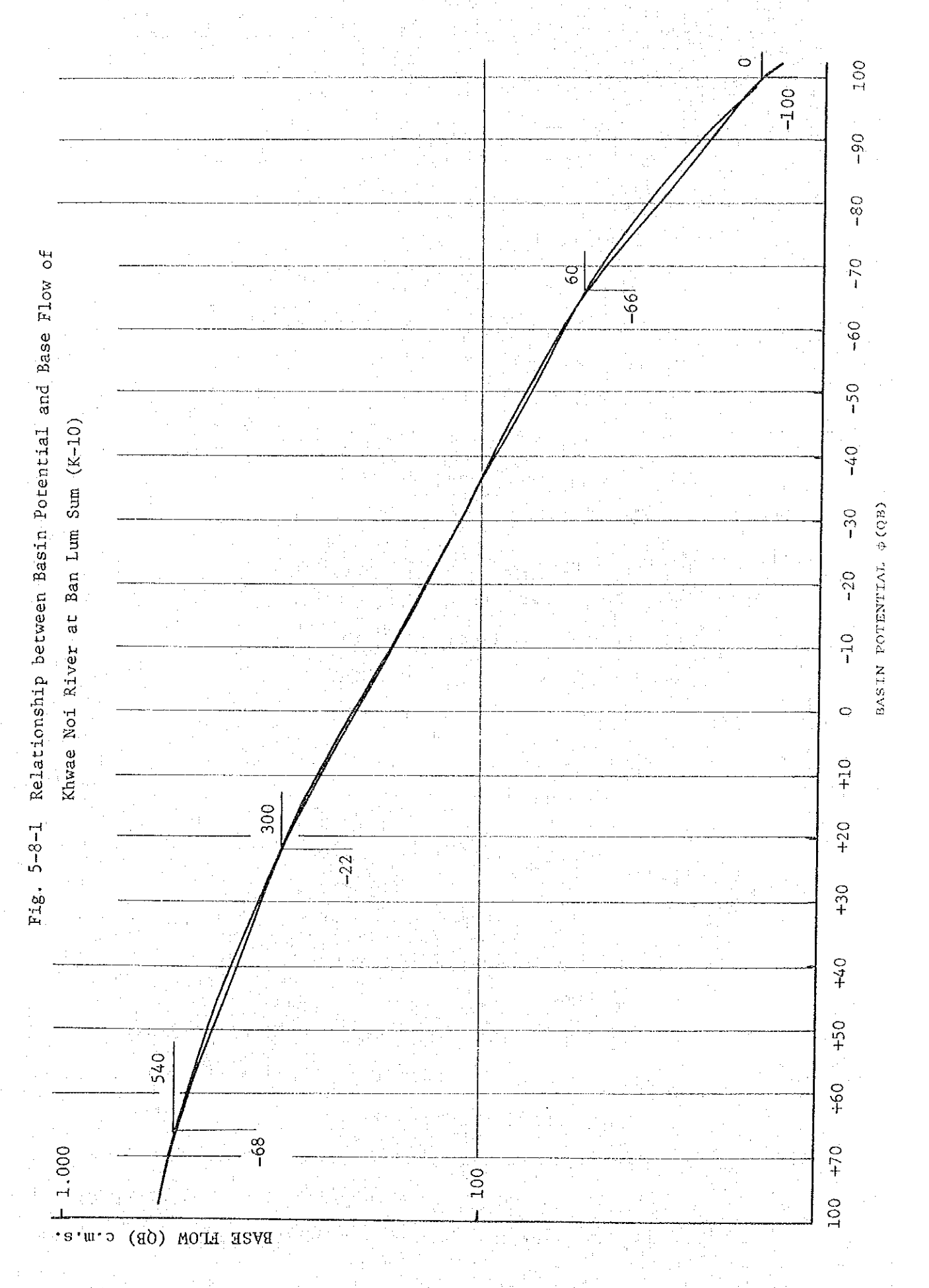
### 3. 諸常数及び計算式化

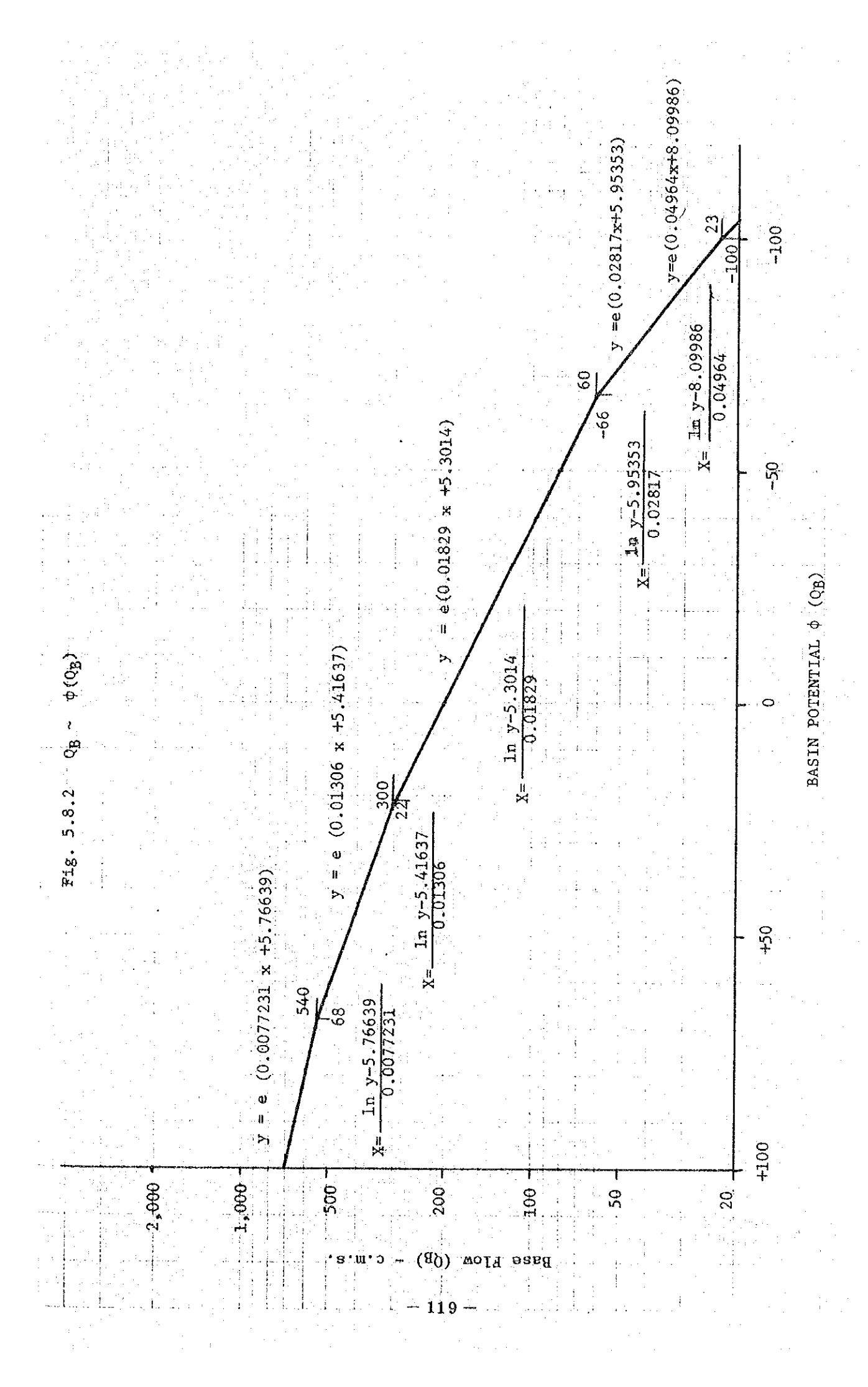
3-1  $\phi(Q_B)\sim Q_B$ の関係 (Fig. 5.8)

従来のものをそのまま用いるが、計算しやすいように次のように折線で近 似した。

- ①  $Q_B \ge 540 \text{ m/S} (\phi(Q_B) \ge 68)$   $Q_B = \text{EXP}(0.0077231\phi + 5.76639)$   $\phi(Q_B) = (1nQ_B 5.76639)/0.0077231$
- ②  $300 \le Q_B < 540 (22 \le \phi < 68)$   $Q_B = EXP(0.01306 \phi + 5.41637)$  $\phi = (1nQ_B - 5.41637) / 0.01306$
- ①  $23 \le Q_B < 60 \ (-100 \le \phi < -66)$   $Q_B = \text{EXP} \ (0.02817 \ \phi + 5.95353)$   $\phi = (\ln Q_B 5.95353) / 0.02817$
- (5)  $Q_B < 23$  (  $\phi < -100$ )  $Q_B = EXP (0.04964 \phi + 8.09986)$  $\phi = (1n Q_B - 8.09986) / 0.04964$
- 3 2 β~φ(QB) 従来のものを使う(Fig. 5.9)
- 3-3 Time Distribution of infiltration Component (Fig. 5.10)
- 3-4 Surfacerunoff Component (Fig. 5.11)
- 3-5 QBの初期値

(T-1)日から前1カ月間の雨量と(T)日の $Q_B$  との関係を示すと図 5.12のとおりとなり(THE DEVELOPMENT OF PILOT FLOOD FORECASTING IN THE MAE KLONGRIVER BASIN(3rd pevision)よりの計算結果(8-7))かなり明確な関係がみられたので、このグラフにより $Q_B$  の初期値を求める。もちろんこれが $Q_O$  より大となればこれは $Q_O$ とする。更に、この初期値は任意日のスタートの際に





iationship between Surface Runoff Coefficient and Basin Potential of		
Fig. 5-9 Relat	(A) andividies	

	(a intai				
*	50 44.	502			
	40 30 90	8			
Désertbucton	20	20%			
FR.		Time - day			
		3		Sinds the	
	Fig., 5=10	Time Discri	burtan Af	Infiltration	6
	(II)				
<b>Z</b>	Sgring Sgring Sgring				
8	40	40%			
a la si	30		30%		
4		107	15%		
		7 Tine	- day		
	4gv 5=11	3	<b>,</b>	urface Runoff	

のみ使用されるものであり、一たん計算が行われれば、以後は計算の  $Q_B$  を使用する。

3-6  $\alpha$ 

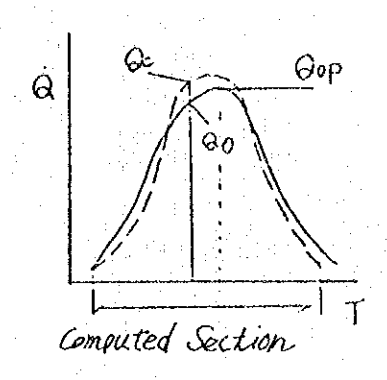
(1)	1 Apr. ~1	5	α	= 1%
(2)	16Apr. ~	3 0		1 0
(3)	May. ~Jur	i ·		
	8 Ri	<b>≤</b> 1 4 0	mm	1.5
	1 4 0 <	$\leq 220$		4 0
٠.	2 2 0 <			8.0
(4)	) Jul.			
	Σ R i	<b>≦</b> 1 4 0		4 0
	1 4 0 <	<b>≦2</b> 5 0		7.0
	250<			100
(5)	Aug.			
	Σ Ri	<b>≤</b> 1 0 0		6 0
	1 0 0 <	<b>≦2</b> 15		7 0
	2 1 5 <			1 0 0
(6)	Sep.			
:	$\sum_{1}^{7} Ri$	<100		5 0
	1 0 0≦	< 150		6 0
	1 5.0 <			100
(7)	Oct.			to plante
	$\sum_{i=1}^{7} R_{i}$	<5 0		3 0
	5 0 <			5 0
(8)	Nov			3 0
(9)	De c			10

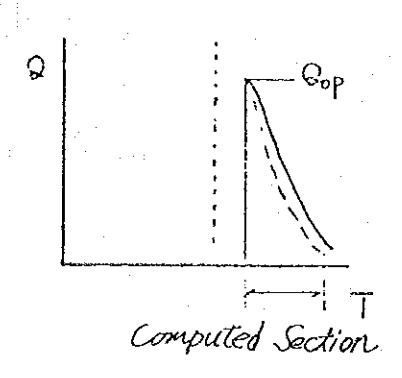
# 4. 結果と問題点

各ケースについて表 5.6の8洪水について計算を実施し、誤差の状況を

 $E = \frac{1}{N} \Sigma \left( \frac{Q_C - Q_O}{Q_{op}} \right)^2$  (ことで、 $Q_{op}$ : 計算区間内の実測ピーク流量、 $Q_C$ : 計算

旅量、 $Q_0$ :同日の実御流量、ただし、 $Q_{op}$  は、1 ハイドログラフの実測ピーク流量ではなく計算を 1 日ずらして実施するのでピーク後は計算開始日の $Q_0$  となる)





-			<u> </u>					:
No.	Year	Month	Ob- served Peak Dis- charge (m³/s.d)	Discharge Observed on Start- ing Com- putation (m³/s.d)	Start- ing Day of Com- puta- tion	Rain- fall in pre- ceding 1 Month	Ini- tial Value of QB	Ver- ifi- ca- tion Peri- od
1.	1967	Aug	1,668	580	14	569	430	
2.	1969	Jul.~Aug.	2,354	316	26	362	120	. ;
3.	1970	Jul.	1,165	144	14	295	100	
4	1971	Jul.~Aug.	1,859	416	- 20	382	140	
5.	1972	Jul.	3,026	406	11	362	120	:
6.	1972	Jul∼Aug.	1,846	753	23	625	440	
7	1973	Jul.	1,728	43	15	344	43	
8.	1974	Aug.	3,250	239	12	312	150	

この結果表 5.7 に示す様に、Eの平均値、変動係数からみてすべての洪水に対して平均的によい適合をみせたケース、1 を採用する事とした。

ケース・1のハイドログラフを図5.13に示した。

又, ケース, 1の計算結果を表 5.8 K, 各ケースの計算の 1 例を参-1 2 K 示した。

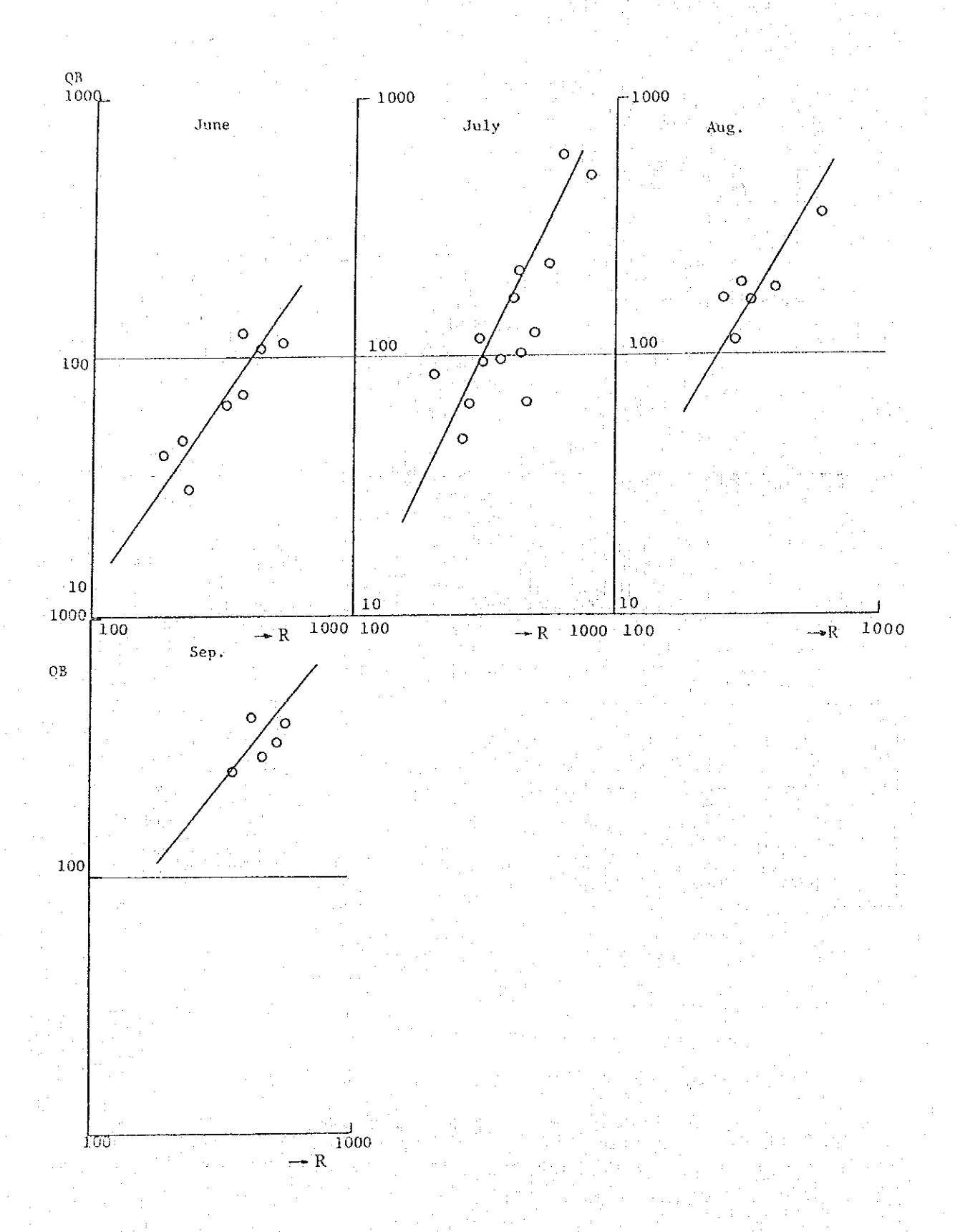


Table 5-7 Data of Error Computations (from Ap-8)

						-				
Vear		A	Average Value	lue	-	Coeff	icient of	Coefficient of Variance		Remarks
	· ··	Case 1	2		7	Case 1	2	3	4	
1967		0.237	Δ 0.235	0 0.219	1.172	0.355	0.355 A 0.269	0 0.226	0.742	
1969		Δ 1.040	0 1.035	1.493	2.923	Δ 0.234 0 0.204	0 0.204	0.999	0.457	
1970		Δ 3.607	3.988	0 2.084	6.073	0.858	0 0.762	o 0.762 \D 0.768   0.726	0.726	
1971		△ 0.582	0 0.542	0,849	2,683	0.284	Δ 0.263	0 0.213	0.849	
1972 (	(1)	0 2.712	Δ 2.813	2.863	3.754	0 0.521	0.564	0.564 \ \ \ 0.541	0.453	
1972 (	(2)	2.480	Δ 2.476	0 2.415	3.169	0 0.421	△ 0.435	0.548	0,401	
1973		Δ 3.12	3.900	0 1.817	5.373	Δ 0.488	0 0.316	0.673	0.966	
1974		0 0.971	066.0 √	1.007	3.041	0.520	0 0.337	Δ 0.401	0.690	
Average	90	△ 1.845	1.997	0 1.593 3.524	3,524	△ 0.460	0 0.394	0,548	0.661	

o First in four cases

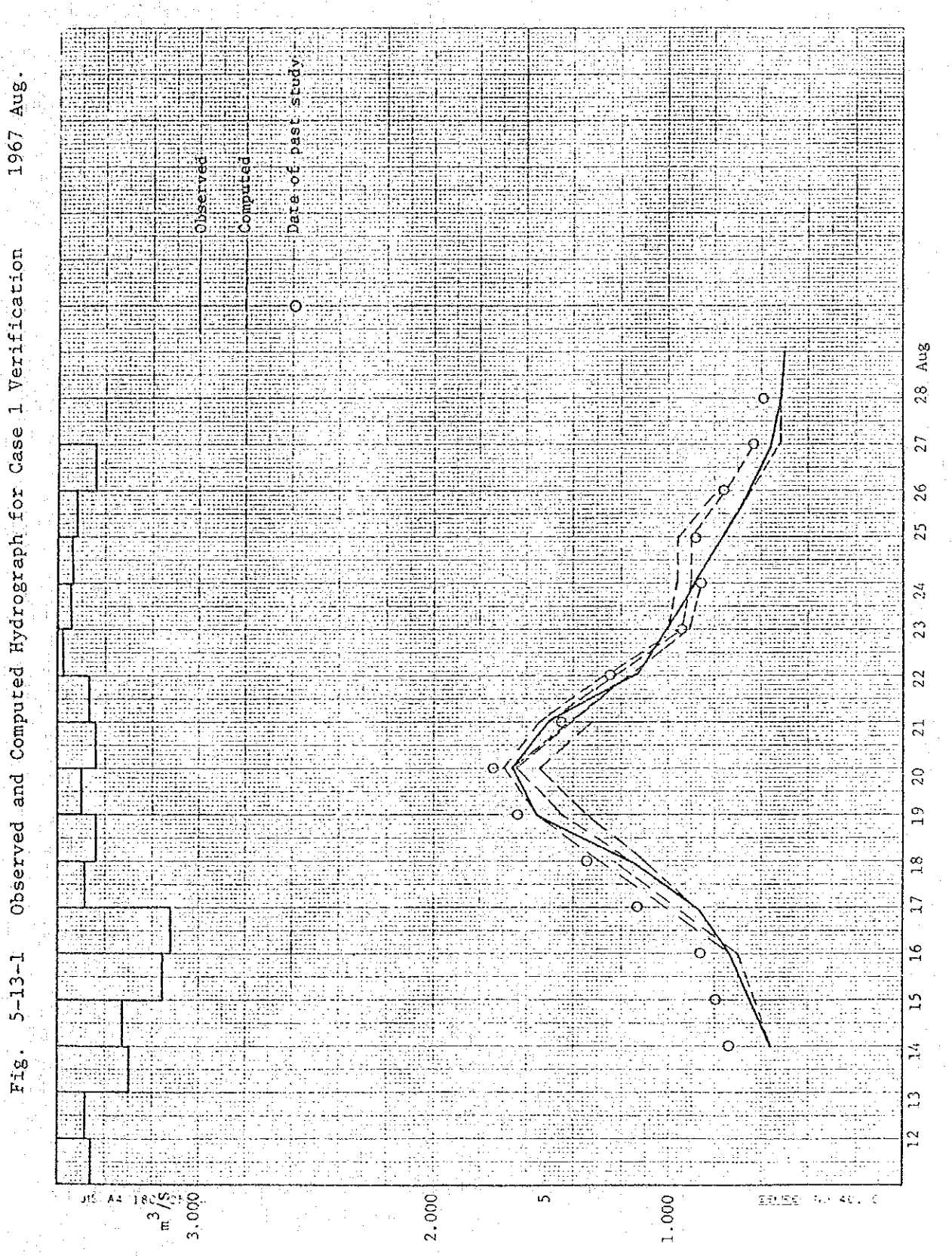
A Second in four cases

Table 5-8-1 Date of Case 1 Computation (I)

DATE	R	Re	α	RI	Time D:	istribut:	ion qI	В.Р.	QB	-oB	β	RS		****	T.D.	7		qs	Qs	Qc	Qo
														····		х10 <sup>-2</sup>		x10 <sup>-2</sup>			
	mm	mm		min	0.3	0.5	0.2 mm	mm	ໜ <sup>3</sup> /s.d	mm		mm	5	10	40	30	15	mm	m³/s.d	m³/s.d	m³/s.d
9	11.9	8.23	0.70	3.75							0.55	4.58)									
10	9.1	6.37	0.70	2.87							0.55	3.50									
11	14.6	10.22	0.70	4,60							0.55 (4)	5.62 (5)						. :			
12	14,4	10.08	0.70	4.54				40)		: -	0.55	5.54									:
13	12.5	8.75	0.70	3.94				(2) 49.57			(3) 0.55	4.81									
14					1.18	2.26 0	,92 4.37		(1) 430.0	-5.30			24.06	55.44	5)  224,84	105.10	68.72	478.17	387.85	817.85	580.0

Table 5-8-1 Date of Case 1 Computation (II)

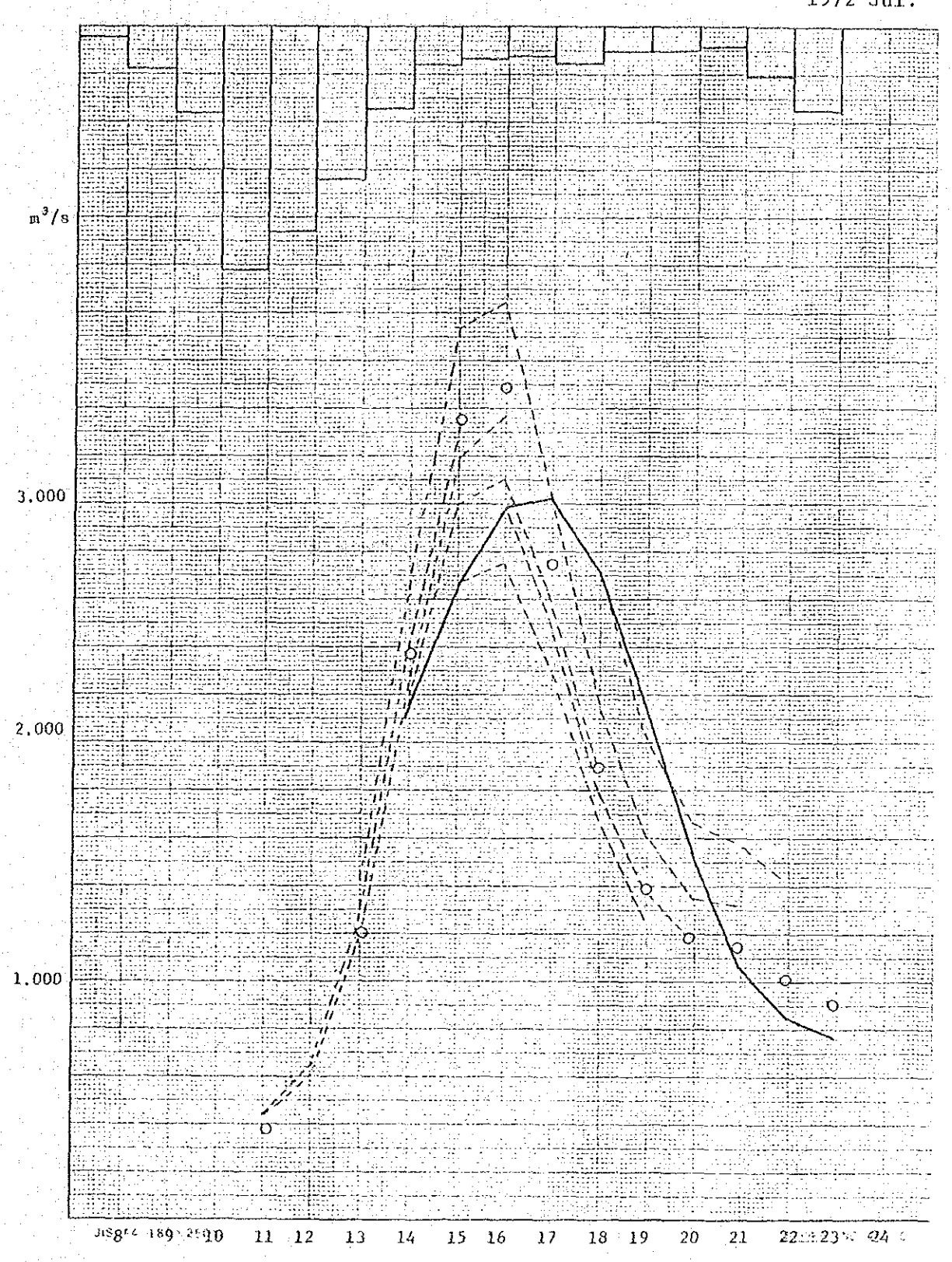
·		<del></del>	·		<u> </u>	1	m •	~ .	**:	ı	r <del></del>			<u> </u>		<del></del>		<del></del>	·············			·		· · · · · · · · · · · · · · · · · · ·		· ·
DATE	R	Re		α	RI			e Dis- oution		Ip	В.Р.	QB	-qb	β		RS				T.D.	×10 <sup>-2</sup>	1	qs x10 <sup>-2</sup>	Qs	Qc	Qo
:	mm	mm			mm		0.3	0.5	0.2	mm	mm	m³∕s.d	mm			mm		5	10	40	30	15	mm	m³/s.d	m³/s.d	m³/s.d
9	11.9	5.91			2.66									0.55		3.25										
10	9.1	4,52			2,03									0.55		2.48				1.1294						
1.1	14.6	7.25	. (9)		3.26									0.55	13	3,99	<b>9</b>					-				
12	14.4	7.15			3.22	(9)					1			0.55		3.93										
13	12.5	6.21			2.79						(12) 23.26			0.55		3.41					· .					
14	31.7	22.19	15)	0.7	9.99	15)	0.84	1.61	0,65	3.10	① 22,60	10 354.95	-3.76	0.55		12.20	§)	17.06	39.32	159.45	74,54	48.74	339.11	(1) 275.05	8 580.0	580
15	28.7	20.09		0.7	9.04		3.00	1.40	0.64	5.04	23.91	(B) 303.32	-3.74	0.55		11.05		61.02	34.13	157.27	119.59	37.27	409.27	331.97	634.29	675
16	43.9	30.73		0.7	13.83		2.71	5.00	0.56	8.27	28.38	307.53	-3.79	0.55		16.90		55.25	122.05	136.52	117.95	59.79	491.55	398.70	706.24	740
17	47.9	33.53	1	0.7	15.09		4.15	4.52	1.99	10.67	35.02	326.03	-4.02	0.55		18.44		84.51	110.50	486.18	102.39	58,98	844,55	685.02	1011.05	889
18	12.7	12.70		1.0	5.72		4.53	6.92	1.81	13.25	43.89	355.59	-4.38	0.55		6.98		92.21	169.02	441.98	366.14	51.19	1120.53	908.87	1264.47	1177
19	14.7	14.70		1.0	6,61		1,72	7.55	2.77	12.03	50.99	399,24	-4.92	0.55		8.09		34.93	184.42	676.06	331.49	183.07	1409.95	1143.63	1542.86	1576
20	9.0	5.40		0.6	2.43		1.98	2.86	3.02	7.86	53,45	438,04	-5.40	0.55		2.97		40.43	69.85	737.66	507.05	165.74	1520.72	1233.47	1671.51	1668
21	15.0	10.50		0.7	4.73		0.73	3.31	1.14	5.18	53.05	452.34	-5.58	0.55	T	5.77		14.85	80.85	279.40	553.25	253.25	1181.87	458.62	1410.96	1493
22	13.4	13.40	`	1.0	6.03		1,42	1.22	1.32	3.96	51.46	450.00	-5.55	0.55		7.37		28.88	29.70	323.40	209.55	276.62	868.15	704.16	1154.16	1160

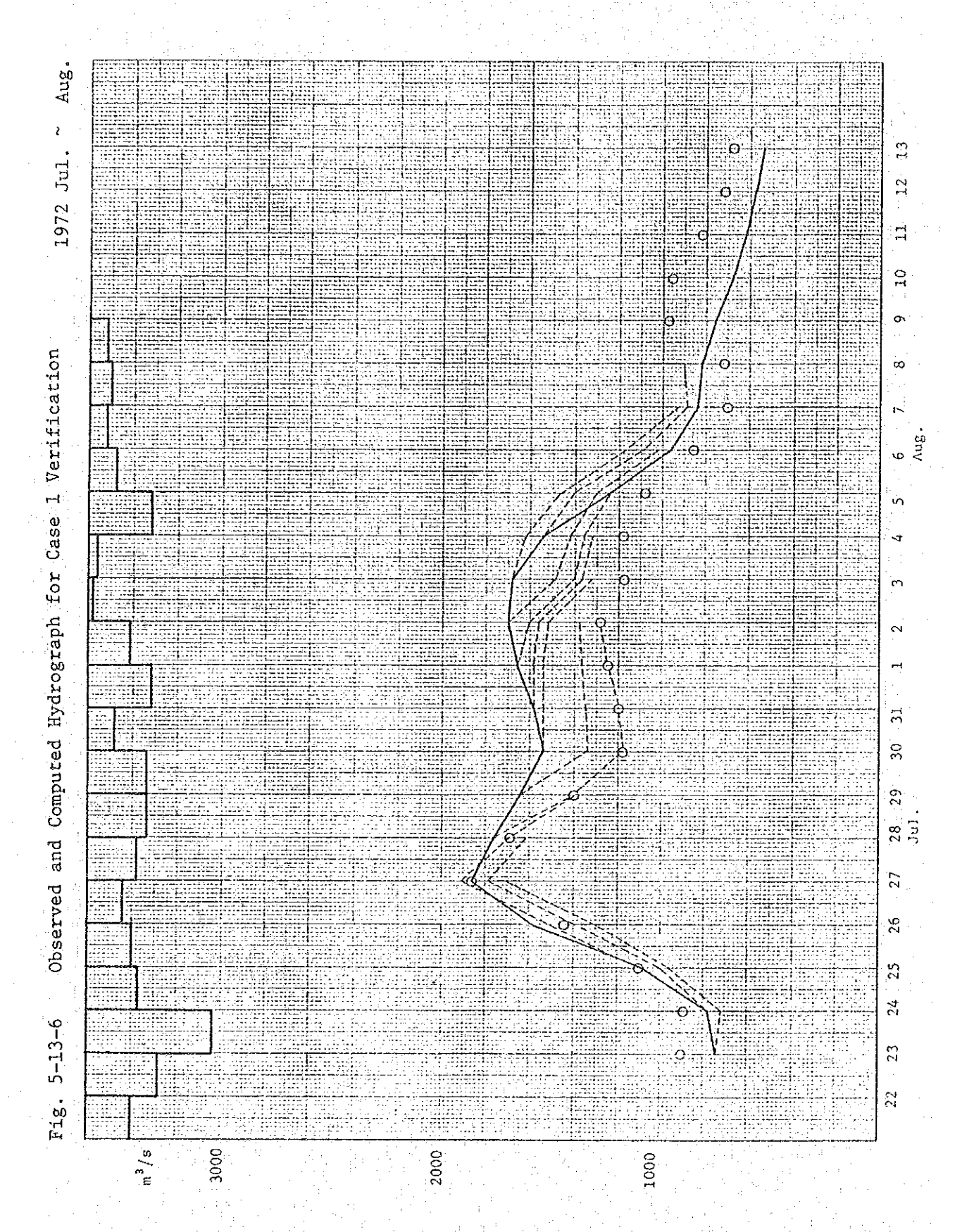


— **133** —

**— 134** —

Fig. 5-13-5 Observed and Computed Hudrograph for Case 1 Verification 1972 Jul.





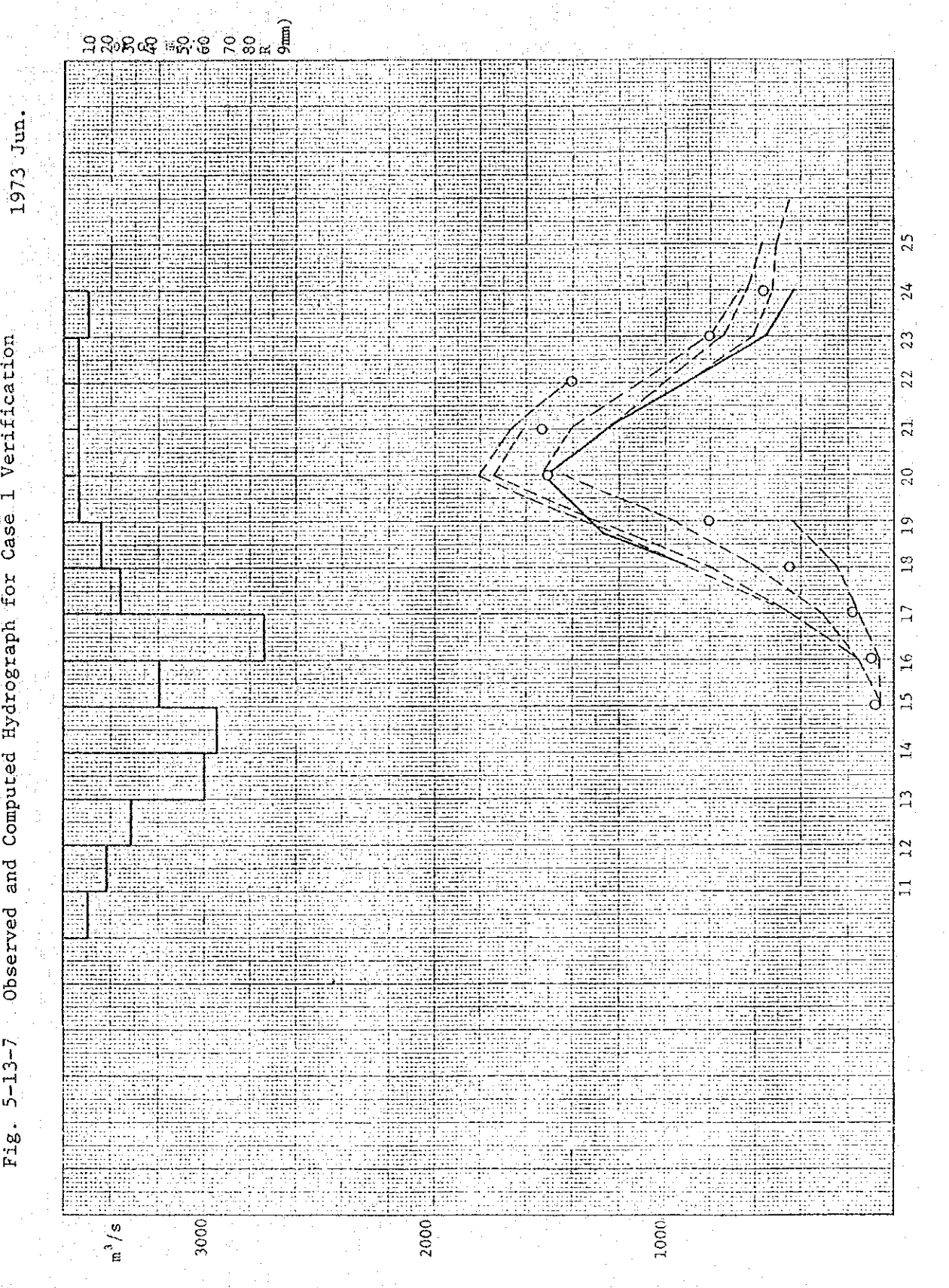
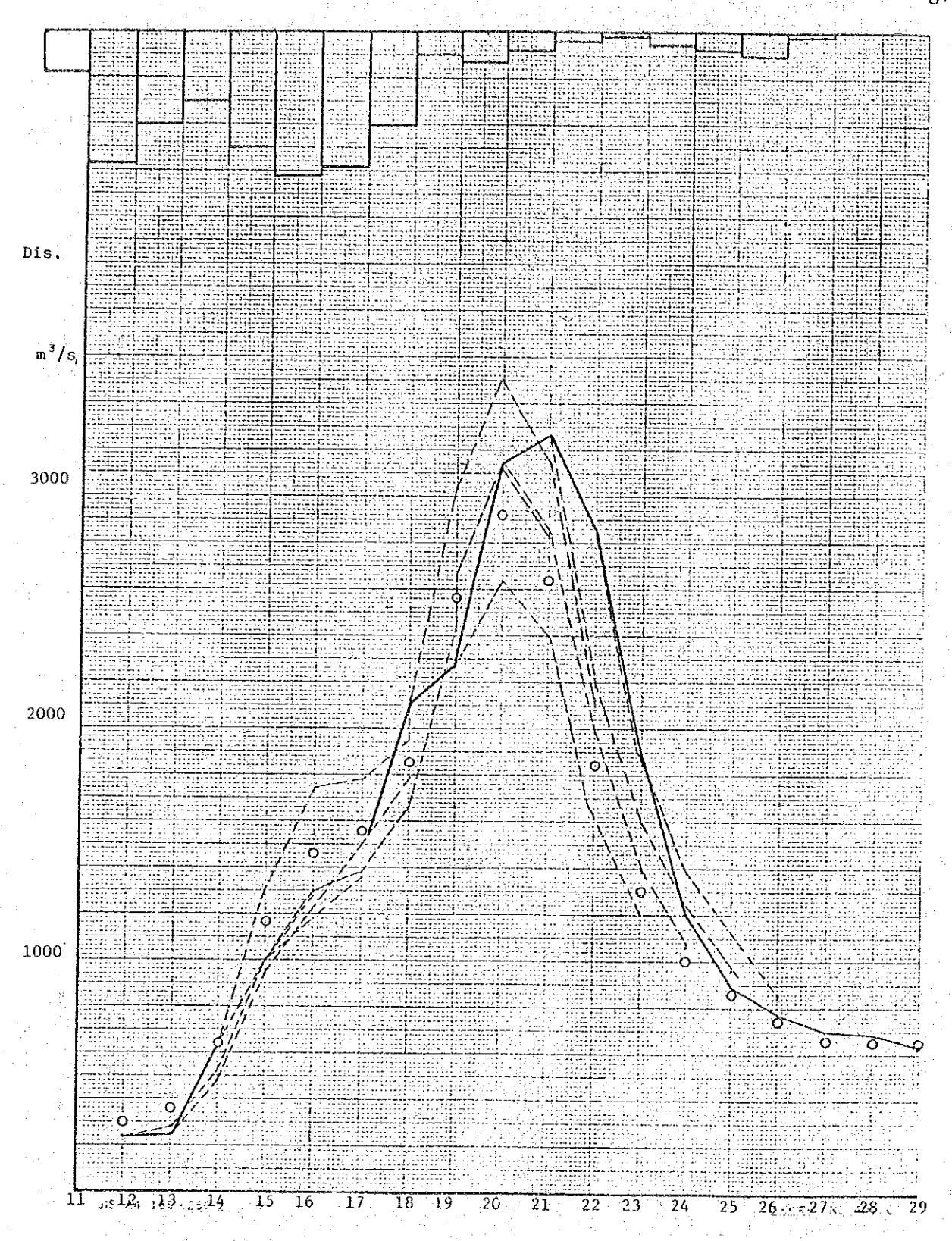


Fig. 5-13-8 Observed and Computed Hydrograph for Case 1 Verification 1974 Aug.



とれより、1967、69、71の3洪水については、ほぼ良好な結果が得られたが、1970、73については、計算スタート直後の計算値がかなり小さかったので、これを実測値に合致させる修正を行った結果ピーク流量が大きくなった。1972(5) は立上り部がかなり良好にもかかわらず、計算値がピークで大きく、ピーク後で小さめとなった。1972(6)、74はピーク後において計算値が小さく出た。

又、実測、推算ハイドログラフの Volume について、計算スタート日と1日後から洪水期間中について比較したところ表 5.9 のとおりであった。これによると、ほとんどの洪水で、実測値にくらべ5~10% Volumeが少な目であった。

表 5.9 実績~推算ハイドログラフVolume比

(m³/sec-day)

Year	Observed	Computed	Difference
	Discharge	Discharge	(%)
1967	14,344.0	14462.4	0.825
	13,764.0	14264.7	3.638
1969	35,444.0	32638.47	-7.915
	35,128.0	32609.21	-7.170
1970	6,481.0	5499.07	-15.151
	6,337.0	5283.14	-16.630
1971	16,255.0 15,839.0	15413.61 14663.81	-5.176 -7.420 -1.940
1972	22,305.0	21872.29	-1,940
	21,899.0	20768.01	-5,165
	26,205.0	22119.43	-15,591
1973	25,452.0 9,475.0	21923.58 6992.63	-13.863 $-26.199$
1974	9,432.0	10798.93	14.492
	26,404.0	23101.21	-12.509
1	26,165.0	22403.16	-14.377

これらの原因については次のことが考えられる。

- ① 流域平均日雨量が正確に把握されていない。
- ② 有効雨量が妥当がどうか
- ③ QB.QSの time distributionが適当か
- ④ 今回検討した修正方法において、ある1日のみの流量に合致させることに した事がよいかどうか、又QB の初期値が妥当かどうか。
- ⑤ 流量が大きくなった場合氾濫を起こすが、これについては流出モデルに考